

9. Рид Р., Праусниц Дж., Шервуд Т. Свойства газов и жидкостей: — Л.: Химия, 1982.
10. Фролов С. М., Гельфанд Б. Е., Борисов А. А. // Простая модель детонации в системе газ — пленка с учетом механического уноса горючего // ФГВ.— 1985.— 21, № 1.— С. 110.
11. Borisov A. A., Mailkov A. E., Kosenkov V. V. et al. // Propagation of gaseous detonations over liquid layers // Proc. 12th ICDERS. Book of Abstracts, 1989.— Michigan.

2. Москва

Поступила в редакцию 24/I 1991

УДК 534.222.2 + 537.311.37

A. B. Пинаев

## ИЗМЕРЕНИЕ ЭЛЕКТРОПРОВОДНОСТИ ПРИ ДЕТОНАЦИИ ГАЗОВ СО ВЗВЕСЯМИ АЛЮМИНИЯ

В работе проведены измерения проводимости при детонации газовзвесей ( $H_2 + O_2$ )—Al и  $O_2$ —Al. Опыты выполнены в ударной трубе при начальных давлениях  $p_0 = 0,2 \div 0,6$  атм и средней объемной плотности пыли  $\rho = 0,1 \div 0,5$  кг/см<sup>3</sup>. Высокая проводимость  $\sigma = 10^{-2} \div 1$  См/м существует в протяженной области горячих продуктов реакции и имеет термическую природу.

Газовзвеси органических и металлических пылей обладают способностью к детонации. Наиболее полно изучены вопросы, касающиеся структуры и свойств взрывных и детонационных волн во взвесях углей [1, 2], муки и крахмала [3—5] в воздухе,  $O_2$  или смесях  $O_2 - N_2$ , а также металлических частиц Al в  $O_2$ , воздухе или детонационно-способных газовых смесях [6—9]. Цель настоящего исследования — выяснить величину электропроводности продуктов детонации таких систем (результаты, приводимые ниже, получены автором в 1986 г.).

Эксперименты выполнены на ударной трубе из нержавеющей стали диаметром  $d_1 = 70$  мм и длиной 7 м. Детонация возбуждалась с помощью двух метровых секций, расположенных диаметрально противоположно вверху трубы. Эти секции отделялись диафрагмой от ударной трубы, вакуумировались и заполнялись смесью  $C_2H_2 + 2,5O_2$  при  $p_0 = 1 \div 2$  атм. Снизу по центру трубы помещался электроизолированный от всей трубы проводник из нержавеющей стали с  $d_2 = 6$  мм. Ударная труба перед опытом вакуумировалась. Затем газовая смесь подавалась через электроклапаны в заполненный порошком алюминия ПАП-1 генератор пыли (рис. 1), откуда образующаяся газовзвесь поступала сверху в объем трубы. При таком способе равномерное заполнение трубы исследуемой газовзвесью до  $p_0 \leq 0,5$  атм и  $\rho \leq 0,5$  кг/м<sup>3</sup> обеспечивалось за 5—10 с. Величина  $\rho$  однозначно зависела от  $p_0$  и определялась отдельно путем взвешивания осевшего из объема трубы порошка. Порошок ПАП-1 представлял собой тонкие (~1 мкм) бесформенные чешуйки с размерами 1—40 мкм.

Электропроводность продуктов детонации измеряли по методике, описанной в [10—12]. Величину электропроводности рассчитывали по формуле  $\sigma = k_d(u_d - u_d^0) \ln(d_1/d_2)(2\pi U_0 D)^{-1}$ , где  $U_0$  — напряжение на центральном электроде;  $k_d$ ,  $u_d$ ,  $u_d^0$  — соответственно калибровочный коэффициент датчика и напряжения на нем при  $U_0 > 0$  и  $U_0 = 0$ . В этой формуле в отличие от [10, 11] учтен нулевой сигнал  $u_d^0$ . Временное разрешение метода составляло 0,2 мкс, пространственное — 0,2 мм. Методика измерения скорости детонации  $D$ , давления  $p$ , свечения  $J$  не отличалась от описанной в [12], погрешности измерения давления и электропроводности не превышали 20 %, скорости детонации — 0,5 %.

Для выяснения сравнительного вклада в проводимость частиц выбрана газовая смесь  $H_2 + O_2$  с избыточным после реакции  $O_2$  (при нор-

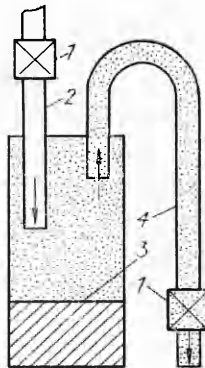


Рис. 1. Устройство генератора пыли.  
1 — электроклапан; 2 — трубка подачи газа;  
3 — алюминиевая пудра; 4 — трубка выхода  
газовзвеси.

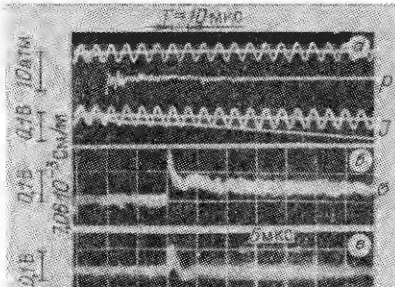


Рис. 2. Осциллографмы давления, свечения и проводимости при детонации  $H_2 + O_2$ ;  $p_0 = 0,4$  атм,  $D = 2345$  м/с,  
 $U_0, B = 30$  (б), 0 (в).

мальных начальных условиях расчетные детонационные параметры [13]:  $D = 2320$  м/с, температура  $T_{\text{ч.-ж.}} = 3468$  К,  $p_{\text{ч.-ж.}} = 17,81$  атм (Ч.— Ж.— плоскость Чепмена — Жуге, измеренная  $\sigma \approx 4 \cdot 10^{-3}$  См/м [12]). Осциллографмы  $p$ ,  $J$ ,  $\sigma$  в волне детонации  $H_2 + O_2$  приведены на рис. 2. Экспериментальные  $D$  и  $p$  близки к расчетным, профиль  $\sigma$  практически прямоугольный (получается вычитанием пулевого сигнала (рис. 2, в) из сигнала на рис. 2, б), поскольку отсутствует химиоионизация в зоне реакции, а температура за плоскостью Чепмена — Жуге постоянна [12]. Само существование пулевого сигнала свидетельствует о наличии объемного заряда во фронте детонации благодаря диффузии электропроводности из области электронейтральной плазмы. При детонации всех исследованных в работе типов систем осциллографмы пулевого сигнала подобны приведенным на рис. 2, в — длительность  $\leq 5$  мкс, а относительная амплитуда, убывающая с ростом  $\sigma$ , составляет от нее 20—50 %.

Добавка взвеси частиц Al к смеси  $H_2 + O_2$  слабо влияет на величину скорости детонации, но заметно (на 30—40 %) возрастает давление в волне и на 1—2 порядка — свечение и электропроводность (рис. 3). Воспламенение частиц Al происходит практически во фронте волны, явно выраженная двухволнивая структура здесь не реализуется. В исследованном диапазоне начальных параметров пропорционально  $p_0$  и  $\rho$  растут  $J$  и  $\sigma$ . Для грубой (с точностью 20—30 %) оценки электропроводности можно пользоваться эмпирической зависимостью  $\sigma = \sigma^* p_0 \bar{\rho} / (p_0 \bar{\rho})$  ( $\sigma^* = 7,5 \cdot 10^{-2}$  См/м  $p_0^* = 0,4$  атм,  $\bar{\rho}^* = 10^{-1}$  кг/м<sup>3</sup>). Электропроводность во фронте резко возрастает (как и при газовой детонации) вследствие протекания эндотермических реакций, что отличает ее от случая ударных волн, где профиль  $\sigma$  плавный и пологий. Высокая проводимость регистрируется уже во фронте волны, и в опытах с  $\bar{\rho} \geq 0,25$  кг/м<sup>3</sup> наблюдается постепенное ее увеличение (рис. 3, г). При малых  $\bar{\rho}$  профиль проводимости прерывистый из-за неоднородности газовзвеси, с ростом  $\bar{\rho}$  профиль  $\sigma$  становится более равномерным (рис. 3, б — г).

Практически постоянная  $\sigma$  при детонации газовзвесей, как и в  $H_2 + O_2$ , свидетельствует о термической природе ионизации. В волнах детонации одновременно с  $p_0$  повышается и температура  $T$  продуктов реакции, в итоге зависимость  $\sigma(T)$  оказывается более сильной, чем  $\sigma(p)$ : при равновесной (термической) ионизации  $\sigma = e n_e \mu_e \sim T^\alpha \left( \sum_i p_i Q_i \right)^{-1} \times \exp(\varphi/T)$  возрастает с  $T$ , а  $\mu_e$  убывает вместе с  $p$  ( $e$ ,  $n_e$ ,  $\mu_e$  — заряд, концентрация и подвижность электронов,  $\alpha > 0$ ,  $\varphi > 0$ ,  $p_i$ ,  $Q_i$  — давление и среднее электронное диффузационное сечение столкновения для нейтральных частиц).

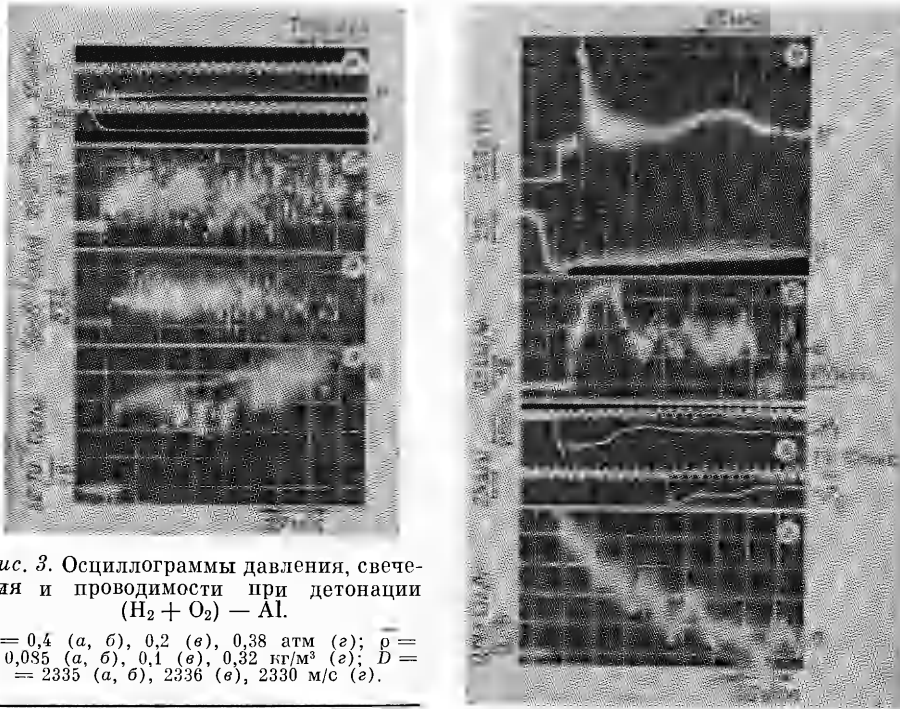


Рис. 3. Осциллограммы давления, свечения и проводимости при детонации  $(\text{H}_2 + \text{O}_2) - \text{Al}$ .  
 $p_0 = 0,4$  (а, б), 0,2 (в), 0,38 атм (г);  $\rho = 0,085$  (а, б), 0,1 (в), 0,32 кг/м<sup>3</sup> (г);  $D = 2335$  (а, б), 2336 (в), 2330 м/с (г).

Рис. 4. Осциллограммы давления, свечения и проводимости при детонации  $\text{O}_2 - \text{Al}$ .  
 $p_0 = 0,48$  (а, б), 0,55 атм (в, г);  $\rho = 0,37$  (а, б), 0,27 кг/м<sup>3</sup> (в, г);  $D = 1600$  (а, б), 1750 м/с (в, г).

В газовзвесях  $\text{Al} - \text{O}_2$  зарегистрированы волны детонации с  $D = 1600 \div 1750$  м/с, слабо зависящими от  $\rho$  ( $p_0 = 0,4 \div 0,6$  атм,  $\rho = 0,2 \div 0,5$  кг/м<sup>3</sup>,  $\chi = \kappa/\kappa_{\text{ст}} \approx 0,3 \div 0,55$ ,  $\kappa$  — стехиометрический коэффициент,  $\kappa_{\text{ст}} = 1,125$ ). Задержка воспламенения частиц Al не превышает 5—10 мкс. В большинстве опытов реализуется спиновая детонация с шагом спина  $\approx 25$  см и периодом вращения «головы»  $\approx 140 \div 150$  мкс. Прогощдение через пьезодатчик поперечной волны с перепадом давления  $p/p_0 \approx 125$  зарегистрировано на рис. 4, а (профиль  $\sigma$  в том же опыте — рис. 4, б). Как и в  $(\text{H}_2 + \text{O}_2) - \text{Al}$   $\sigma$  достигает высоких значений ( $\approx 0,35 \div 0,6$  См/м) на фронте одновременно с воспламенением частиц, в зоне реакции профиль  $\sigma$  местами прерывистый (рис. 4, б, г). По мнению автора, наблюдаемый спад сигнала (см. рис. 4, б, г) связан с конденсацией  $\text{Al}_2\text{O}_3$  в объеме (что уменьшает  $\sigma$ ) и на обоих электродах (что увеличивает контактное сопротивление). Косвенным подтверждением этому служит осмотр после опыта поверхностей трубы и центрального электрода. Для сравнения заметим, что в случае детонации  $(\text{H}_2 + \text{O}_2) - \text{Al}$  осевший слой  $\text{Al}_2\text{O}_3$  при тех же  $\rho$  значительно тоньше.

За падающей ударной волной в кислороде при  $D = 1600 \div 1750$  м/с  $T \approx 1500 \div 1700$  К, что существенно ниже, чем в продуктах детонации  $\text{H}_2 + \text{O}_2$ . Несмотря на двукратное различие температур перед воспламенением и протяженный (несколько сантиметров) размер зоны реакции в  $\text{O}_2 - \text{Al}$  с плавно нарастающей температурой значения  $\sigma$  в  $(\text{H}_2 + \text{O}_2) - \text{Al}$  и  $\text{O}_2 - \text{Al}$  при близких  $\rho$  и парциальных начальных давлениях кислорода  $p_0(\text{O}_2)$  оказываются сравнимыми. Это позволяет предполагать, что степень ионизации и электропроводность определяются величиной  $\rho$  и локальной (вблизи частиц) температурой, зависящей от  $p_0(\text{O}_2)$ . На основании этого эмпирического факта, можно ожидать, что при детонации Al в воздухе значения  $\sigma_{\text{возд}}$  будут при прочих равных условиях примерно в 5 раз ниже, чем в кислороде (например, для  $\rho \approx 0,3$  кг/м<sup>3</sup> и  $p_0 = 1$  атм  $\sigma_{\text{возд}} \approx (0,35 \div 0,6) \cdot 2/5 \approx 0,15 \div 0,25$  См/м).

**В заключение сделаем выводы.**

Взвеси Al позволяют повысить проводимость детонационно-способных смесей на 1—2 порядка ( $\rho \leq 0,5$  кг/м<sup>3</sup>). Высокая проводимость достигается одновременно с воспламенением частиц Al и сохраняется в протяженной области за фронтом детонации, что свидетельствует о термической природе ионизации. С увеличением начального давления и объемной плотности пыли в продуктах детонации газовзвесей могут быть получены  $\sigma > 10^{-2} \div 1$  См/м.

#### ЛИТЕРАТУРА

1. Эдварс Д., Фернлей Р., Неттлтон М. Исследование детонации взвесей угольной пыли в смесях кислорода с азотом в ударной трубе // ФГВ.— 1987.— 23, № 2.— С. 129—136.
2. Zalesinski M., Wojciecki S. Generation of detonation by two-stage burning. Gasdynamics of detonations and explosions/Eds. J. R. Bowen et al. // Progr. Astron. and Aeron.— 1981.— 75.— P. 439—446.
3. Peraldi O., Veyssiére B. Experemental study of detonations in starch particle suspensions with O<sub>2</sub>/N<sub>2</sub>, H<sub>2</sub>/O<sub>2</sub>, and C<sub>2</sub>H<sub>4</sub>/O<sub>2</sub> mixtures. Dynamics of explosions/Eds. J. B. Bowen et al. // Ibid.— 1986.— P. 490—504.
4. Dahab O. M., Kapuscinski M., Wolanski P. et al. Detonation phenomena in grain dust-oxygen mixtures // 4th (Int.) colloq. on dust explosions: Book of abstracts.— Warszawa, 1990.— P. 67.
5. Wolanski P., Sacha W., Zalesinski M. Effect of dust concentration on defonation parameters in grain dust — air mixtures // Ibid.
6. Strauss W. A. Investigation of the detonation of aluminium powder-oxygen mixtures // AIAA J.— 1968.— 6, № 9.— P. 1753—1756.
7. Tulis A. J., Selman J. R. Detonation tube studies of aluminium particles dispersed in air // 19th Symp. (Int.) on Comb.— Pittsburgh, 1982.— P. 655—668.
8. Tulis A. J., Fochtman E. G., Heberlein D. C. Experimental methods for assesing detonation/deflagration in pyrotechnic dusts // 7th (Int.) pyrotechnics seminar, IIT Research Inst.— 1980.— 2.— P. 859—877.
9. Veyssiére B. Structure of the detonations in gaseous mixtures containing aluminium particles in suspension. Dynamics of exsplosions/Eds. J. R. Bowen et al. // Progr. Astron. and Aeron.— 1986.— P. 490—504.
10. Ершов А. П., Зубков П. И., Лукьяничков Л. А. Измерение ширины зоны проводимости за детонационным фронтом в тэнне // Динамика сплошной среды.— Новосибирск, 1971.— Вып. 8.— С. 177—182.
11. Ершов А. П. О методах измерения электропроводности за фронтом детонации в конденсированных ВВ // Там же.— Новосибирск, 1972.— Вып. 11.— С. 17—27.
12. Пиняев А. В., Сычев А. И. Измерение профилей электропроводности и процессы ионизации при детонации газов // ФГВ.— 1984.— 20, № 1.— С. 112—121.
13. Николаев Ю. А., Топчян М. Е. Расчет равновесных течений в детонационных волнах в газах // Там же.— 1977.— 13, № 3.— С. 393—404.

г. Новосибирск

Поступила в редакцию 8/I 1991

УДК 662.215 + 534.222

*Е. Г. Баранов, И. И. Кличко, Э. А. Петелин*

#### О РАЗЛЕТЕ ПРОДУКТОВ ВЗРЫВА В ГАЗОКУМУЛЯТИВНЫХ ЗАРЯДАХ

Явление кумуляции энергии взрывчатого превращения ВВ получило широкое применение в промышленности. В качестве примера можно привести кумулятивные заряды для геофизических работ [1], для дробления скальных массивов в условиях противодавления [2], заряды для дробления негабаритных кусков горных пород [3, 4], а также скважинные и накладные заряды с направленным истечением продуктов взрыва [5, 6], газокумулятивные заряды для ускорения твердых частиц [7] и сверхскоростной кумуляции [8].

В зависимости от конструкции заряда выделяют кумуляцию газовых и газометаллических потоков. Последняя обеспечивается зарядами с металлической облицовкой. Обусловленные практическим приложением научные исследования ориентированы на изучение кумуляции с металлической облицовкой, так как последняя позволяла наиболее просто уве-